

## بررسی حسگرها فرآصوتی جهت تخمین هوشمند حجم درختان

محمد اسکندری<sup>۱</sup> - عادل حسین پور<sup>\*</sup>

تاریخ دریافت: ۹۲/۵/۳۱

تاریخ پذیرش: ۹۳/۱/۱۸

### چکیده

طیف وسیعی از فعالیت‌های مهم کشاورزی از جمله تیمار آفت کش‌ها، آبیاری، کود و هرس درختان تا حد زیادی به خواص هندسی تاج پوشش درختان بستگی دارد. تحقیقات زیادی در زمینه استفاده از حسگرها فرآصوتی جهت تخمین حجم تاج پوشش درختان انجام شده است. این تحقیق به بررسی استفاده از روش‌های نرم افزاری از جمله شبکه‌های عصبی مصنوعی به منظور بهبود خطای تخمین حجم تاج پوشش درختان به کمک حسگرها فرآصوتی می‌پردازد. برای این منظور یک سیستم آزمایشگاهی مخصوصی طراحی و ساخته شد. این سیستم دارای سه عدد حسگر فرآصوتی است که به صورت عمودی با فاصله‌های ۶۰ سانتی‌متری بر روی یک دکل چوبی نصب شده است. با حرکت دکل چوبی حسگرها فرآصوتی ضخامت نقاط مختلف تاج پوشش درخت را با نرخ نمونه برداری ۴ هرتز اندازه‌گیری می‌کنند. آزمایش‌ها در سه سطح سرعت ۴۵، ۳۵ و ۵۵ سانتی‌متر بر ثانیه در سه تکرار و در چهار وضعیت در زوایای ۹۰ درجه برای ۵ نمونه درخت فیکوس بنجامین انجام شد. پس از عبور کامل حسگرها فرآصوتی از مقابل تاج پوشش درخت مشخصاتی همچون قطر، میانگین عرض و ارتفاع تاج پوشش درخت در سه ارتفاع متناظر با حسگرها فرآصوتی به عنوان ورودی شبکه‌های عصبی و حجم دستی تاج پوشش به عنوان خروجی شبکه‌های عصبی در نظر گرفته شد. نتایج نشان داد که مدل شبکه عصبی بهینه برای تخمین دارای ساختار ۱-۷-۱۶-۱۳ می‌باشد. میزان RMSE شبکه عصبی انتخاب شده ۰/۰۹۷۸ مترمکعب می‌باشد.

**واژه‌های کلیدی:** تاج پوشش درخت، حسگر فرآصوتی، شبکه عصبی مصنوعی، فن آوری نرخ متغیر، کشاورزی دقیق

تا حد زیادی به خواص هندسی بخش قابل مشاهده درختان بستگی دارد (Llorens *et al.*, 2011; Rosell and Sanz, 2012) اندازه‌گیری ابعاد تاج پوشش درختان به علت هندسه پیچیده و نامنظم آن‌ها بسیار دشوار است. تاکنون روش‌های مختلف سنجش از راه دور مانند جذب نور<sup>۱</sup> و تصویر برداری استرواسکوپیک<sup>۲</sup> برای اندازه‌گیری ابعاد تاج پوشش درختان (2000) (Meron *et al.*, 2008) و همچنین از تصاویر ماهواره‌ای برای برآورد حجم تاج پوشش درختان جنگل استفاده شده است (Carreiras *et al.*, 2006; le Maire *et al.*, 2008; Mäkelä and Pekkarinen, 2004; Möttus *et al.*, 2006). با این حال معمولاً مقیاس روش‌های سنجش از راه دور نسبتاً بزرگ است، بنابراین احتمال پایین بودن وضوح سنجش برای کابردهای دبی متغیر و بلادرنگ در مزارع وجود دارد. علاوه بر این به طور معمول یک وقفه زمانی بین تشخیص و کابرد شیوه‌های سنجش از راه دور وجود دارد که باعث به وجود آمدن خطای شود؛ برای کاهش این مشکلات از حسگرها LIDAR استفاده می‌شود. اما قیمت نسبتاً گران این نوع حسگرها (۲۰۰۰-۶۰۰۰ دلار) و لزوم استفاده از چند حسگر در برخی از کابردها، استفاده از آن‌ها را با

### مقدمه

یکی از دستاوردهای صنعت کشاورزی در دهه‌های اخیر، کشاورزی دقیق می‌باشد. رایج‌ترین فن آوری به کار رفته در کشاورزی دقیق فن آوری نرخ متغیر<sup>۳</sup> است که در آن اعمال نهاده‌های زراعی نظیر بذر، کود، مواد شیمیایی و آب براساس نیاز هر بخش از مزرعه صورت می‌پذیرد. توسعه تجهیزات خودکار با قابلیت استفاده متغیر از نهاده‌های زراعی با لحاظ ویژگی‌هایی از جمله پوشش گیاهی، یک راه حل مناسب برای کاهش قیمت تولید محصول و کاهش خطر آلودگی محیط زیست به شمار می‌رود.

هندسه تاج پوشش<sup>۴</sup> درختان به آرایش سه بعدی اندام‌های بالای سطح زمین درختان اطلاق می‌گردد. طیف وسیعی از فعالیت‌های مهم کشاورزی از جمله تیمار آفت کش‌ها، آبیاری، کود و هرس درختان

۱- دانشجوی کارشناسی ارشد گروه مکانیک ماشین‌های کشاورزی، دانشکده کشاورزی، دانشگاه ایلام  
کشاورزی، دانشگاه ایلام

۲- استادیار گروه مهندسی بیوپریستم، دانشکده کشاورزی، دانشگاه ایلام

۳- نویسنده مسئول: (Email: a\_hosainpour12@yahoo.com)

3- Variable rate technology

4- Canopy

5- Light interception

6- Aerial stereoscopic imaging

ضخامت نقاط مختلف تاج پوشش درخت را با نرخ نمونه برداری ۴ هرتز اندازه‌گیری می‌کنند.

## آزمون‌ها

### تعیین ناحیه دید حسگرهای فراصوتی

از خصوصیات مهم حسگرهای فراصوتی زاویه واگرایی آن‌هاست که سبب می‌شود حسگر فراصوتی ناحیه دید وسیعی در عرض داشته باشد و هدف مورد نظر را قبل از رسیدن به آن تشخیص دهد. اطلاع از وسعت عرضی ناحیه دید حسگرهای فراصوتی، تغییرات آن با افزایش فاصله طولی و تقارن آن سبب افزایش دقت دستگاه ساخته شده می‌گردد. بنابراین برای تعیین ناحیه دید حسگرهای فراصوتی و مشاهده تغییرات آن با افزایش فاصله طولی هدف، آزمایش تعیین ناحیه دید حسگر فراصوتی بر روی دکل چوبی در ارتفاع ۲ متری آزمایش یک عدد حسگر فراصوتی در زیر و جلوی دکل چوبی در ارتفاع ۸۰×۴۰ سانتی متر نصب گردید. یک عدد کاغذ شطرنجی بزرگ در بعد ۴۰×۴۰ سانتی متر با خانه‌هایی به ابعاد یک میلی‌متر در زیر و جلوی حسگر فراصوتی پهن شد. دو عدد جسم جامد با سطوح تخت به ابعاد ۶۳×۶۳ میلی‌متر (شکل ۲a) و احنادار استوانه‌ای به شعاع و ارتفاع ۵۰ میلی‌متر (شکل ۲b) به ترتیب از جنس چوب و پلاستیک در جلوی حسگر فراصوتی در فاصله طولی ۱۶ تا ۳۰۰ سانتی‌متری و در داخل خانه‌های کاغذ شطرنجی به ترتیب با فواصل ۲۰ و ۱۰ سانتی‌متری قرار داده شد. در هر یک از فاصله‌های طولی با جابه‌جایی جسم جامد در عرض کاغذ شطرنجی ناحیه عرضی که حسگر فراصوتی قابلیت شناسایی جسم جامد را دارد مورد بررسی قرار گرفت و نقلاتی که توسط حسگر فراصوتی شناسایی شدند، علامت‌گذاری گردید (شکل ۲c). ناحیه دید واقعی حسگر با استفاده از نرم افزار Solidworks ترسیم گردید.

### آزمون عملکرد سیستم آزمایشگاهی در هنگام حرکت

به منظور ارزیابی توانایی سیستم آزمایشگاهی ساخته شده در تعیین موقعیت اجسام آزمون عملکرد سیستم آزمایشگاهی در هنگام حرکت طرح ریزی شد. برای انجام این آزمایش یک عدد متر پارچه‌ای با دقت یک سانتی‌متر بر روی ریل الومینیومی در طول مسافت طی شده توسط لغزندۀ نصب گردید. ارتفاع ریل به کمک پایه و بسته‌های نگهدارنده به گونه‌ای تنظیم شد که فاصله نزدیک‌ترین حسگر فراصوتی (حسگر فراصوتی سوم) به سطح زمین ۶۵ سانتی‌متر باشد. یک عدد صفحه تخت چوبی به ابعاد ۱۲۰×۸۰ سانتی‌متر در مختصات ۸۵ تا ۱۶۵ سانتی‌متری ریل در ارتفاع ۵۰ سانتی‌متری از سطح زمین در مقابل سیستم آزمایشگاهی در فاصله‌های ۱۰۰، ۱۵۰، ۲۰۰ و ۲۵۰ سانتی‌متری از حسگرهای فراصوتی قرار داده شد (شکل ۳).

محدودیت مواجه کرده است (Jeon *et al.*, 2011)، بنابراین استفاده از تجهیزات و حسگرهای ارزان قیمت جهت تجهیز ماشین آلات امری ضروری است.

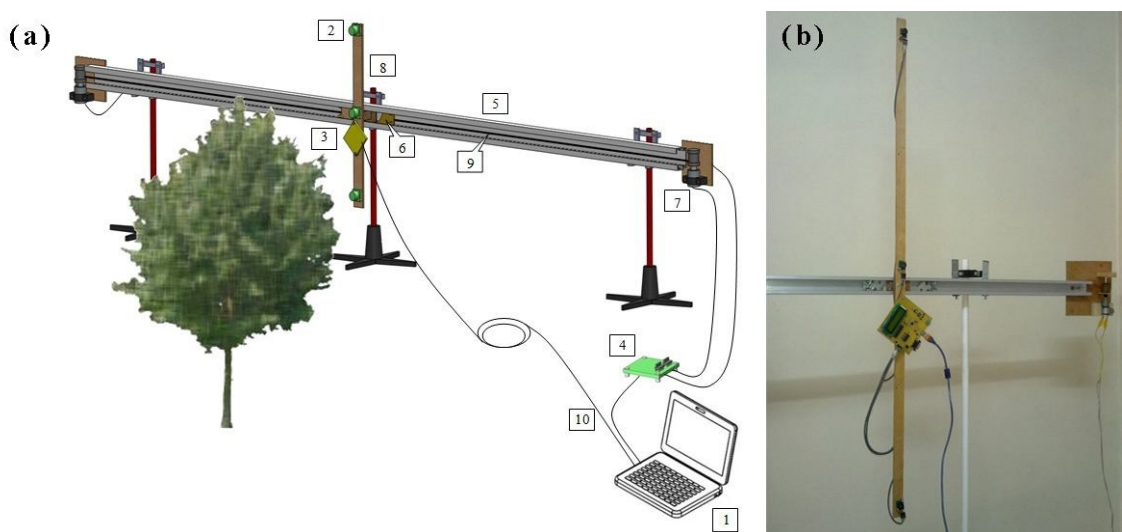
تاکنون محققین زیادی از حسگرهای فراصوتی برای اندازه‌گیری حجم تاج پوشش درختان و یا در تجهیزات سمپاشی و کودپاشی برای انجام عملیات دبی متغیر استفاده کرده‌اند. در آزمایش‌های انجام شده با استفاده از یک سمپاش نرخ متغیر مجذب به حسگرهای فراصوتی در تاکستان‌ها، به‌طور متوسط ۵۸٪ صرفه‌جویی در حجم مایع اسپری شونده همراه با رسویات برگی مناسب بدست آمد (Llorens *et al.*, 2010). در تحقیق دیگری جهت اندازه‌گیری حجم درخت از سیستم دیجیتالی اندازه‌گیر ساختار درختان باغی با کاربرد حسگرهای فراصوتی، استفاده شده است. نتایج آزمایش‌ها نشان داد که سیستم مذکور حجم تاج پوشش درخت را بیشتر از حجم واقعی برآورد می‌کند و دقت آن کمتر از ۸۷٪ نیست (Zhai *et al.*, 2011). محققینی با استفاده از حسگرهای فراصوتی و سیستم موقعیت‌یاب جهانی تفاضلی (DGPS<sup>1</sup>) نرم افزاری برای ایجاد نقشه حجم تاج پوشش درختان باغ‌های مرکبات به صورت بلاذرنگ طراحی کردند. نتایج آنان نشان داد استفاده از حسگرهای فراصوتی و نرم افزار طراحی شده قابلیت اندازه‌گیری حجم و ارتفاع تاج پوشش درخت در هر دقیقه را با دقت و قابلیت تکرار مناسبی دارد در حالی که اندازه‌گیری حجم تاج پوشش هر درخت به صورت دستی بیشتر از یک دقیقه طول می‌کشد (Schumann and Zaman, 2005).

اگرچه تاکنون، تحقیقات زیادی در زمینه استفاده از حسگرهای فراصوتی جهت تخمین حجم تاج پوشش درختان و یا توسعه سمپاش‌های نرخ متغیر انجام شده است، هنوز گزارشی از کاربرد روش‌های نرم افزاری از جمله شبکه‌های عصبی مصنوعی برای بهبود داده‌های سیستم‌های برآورد حجم تاج پوشش درختان انجام نشده است. در این تحقیق، امکان استفاده از شبکه‌های عصبی مصنوعی جهت تخمین دقیق‌تر حجم تاج پوشش گیاهان مورد بررسی قرار خواهد گرفت.

## مواد و روش‌ها

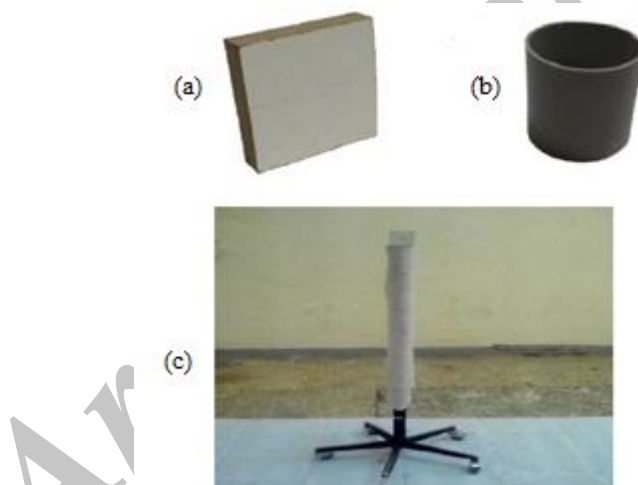
سیستم آزمایشگاهی ساخته شده در این تحقیق دارای سه عدد حسگر فراصوتی مدل SRF02 ساخت شرکت Devantech کشور انگلستان است. با توجه به ارتفاع تقریبی ۱۸۰ سانتی‌متری درختان مورد بررسی، حسگرهای فراصوتی به صورت عمودی با فاصله‌های ۶۰ سانتی‌متری بر روی یک دکل چوبی نصب شد. دکل چوبی حامل حسگرهای فراصوتی توسط موتورهای جریان مستقیم با سرعت ثابت در یک فاصله طولی درون ریل جابه‌جا شده و حسگرهای فراصوتی

1- Differential global positioning system



شکل ۱ - (a) تصویر شماتیک دستگاه ساخته شده؛ (۱) رایانه، (۲) حسگر فرacoصویی، (۳) رایانه، (۴) بورد میکروکنترلر حسگر فرacoصویی، (۵) ریل آلومینیومی، (۶) لغزندۀ، (۷) موتور جریان مستقیم، (۸) دکل چوبی، (۹) رسیمان، (۱۰) کابل USB، (b) تصویر سیستم مورد استفاده موتورها، (۱۱) ریل آلومینیومی، (۱۲) لغزندۀ، (۱۳) موتور جریان مستقیم، (۱۴) دکل چوبی، (۱۵) رسیمان، (۱۶) کابل USB

**Fig.1.** (a) Schematic of the digital test system; (1) Laptop, (2) Ultrasonic sensor, (3) Ultrasonic microcontroller board, (4) Motors' microcontroller board, (5) Aluminum rail, (6) Slider, (7) DC motor, (8) Wooden mast, (9) String, (10) USB cable, (b) Picture of the system



شکل ۲ - (a) سطح تخت، (b) سطح انحنایار استوانه‌ای، (c) کاغذ شبکه‌نگی

**Fig.2.** (a) Flat surface, (b) Curved surface, (c) Graph paper

هدف، از مجدور میانگین مربعات خطای<sup>۱</sup> (RMSE) داده‌های حسگر فرacoصویی دوم مطابق رابطه (۱) استفاده شد (Masoudi *et al.*, 2010).

$$RMSE = \sqrt{\sum_{i=1}^n \frac{e_i^2}{n}} \quad (1)$$

در رابطه (۱)،  $e$  مقدار خطای حسگر فرacoصویی دوم از فاصله

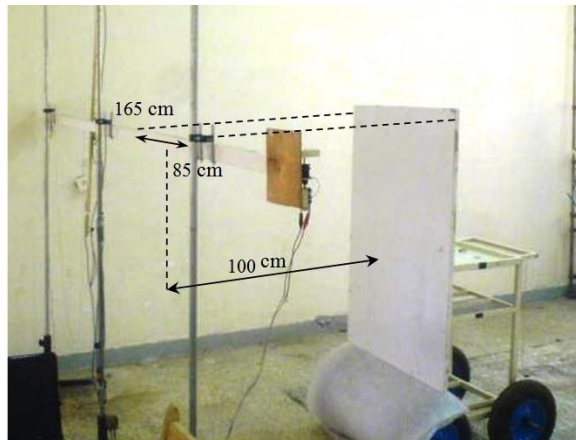
1- Root mean square error

با حرکت لغزندۀ در داخل ریل به صورت دستی مختصات نقاط ابتدایی و انتهایی دیده شدن هدف توسط حسگرهای فرacoصویی در حالت استاتیک سیستم آزمایشگاهی مشخص شد. با حرکت لغزندۀ در داخل ریل آلومینیومی با سرعت پیشروی در محدوده ۳۳-۳۵ سانتی‌متر بر ثانیه (میانگین سرعت پیشروی  $34 \text{ cm s}^{-1}$ ) به‌وسیله موتورهای جریان مستقیم، مقادیر خروجی حسگرها در هر لحظه در حافظه رایانه ثبت شد. آزمایش‌ها در هر فاصله در سه تکرار انجام شد. برای مقایسه مقادیر خروجی حسگرهای فرacoصویی با فاصله واقعی

واقعی هدف،  $n$  تعداد نقاط داده برداری شده در هنگام تشخیص تاج پوشش به روش دستی و با استفاده از حسگرهای فرماصوتی انتخاب شد. جدول ۱ ابعاد پنج اصله درخت شامل ارتفاع درخت، قطر تاج پوشش موازی با ردیف درختان و قطر تاج پوشش عمود بر ردیف درختان که به صورت دستی اندازه‌گیری شده‌اند، را نشان می‌دهد.

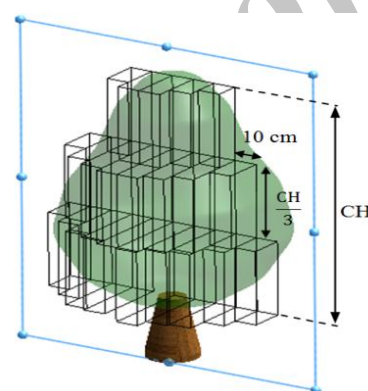
واقعی هدف،  $n$  تعداد نقاط داده برداری شده در هنگام تشخیص هدف می‌باشد.

**اندازه‌گیری دستی حجم درخت**  
تعداد پنج اصله درخت فیکوس بنجامین با نام علمی



شکل ۳- محاسبه حجم درخت با المان‌های مستطیلی

Fig.3. Rectangular elements for the manual measurement of the volume tree



شکل ۴- بررسی عملکرد سیستم آزمایشگاهی در هنگام حرکت در فاصله ۱۰۰ سانتی‌متری  
Fig.4. Performance of the experimental system during movement in 100 cm distance

**جدول ۱- ابعاد تاج پوشش درختان**  
Table 1- Dimensions of tree canopy

Canopy diameter perpendicular to row (m)	Canopy diameter parallel to row (m)	Canopy height (m)	ارتفاع درخت	شماره درخت
0.90	0.90	1.85		1
0.10	0.90	1.78		2
1.05	0.93	1.84		3
1.00	1.10	1.76		4
0.55	0.60	1.81		5

مورد استفاده قرار گرفت. آزمایش‌ها در سه سطح سرعت ۳۵، ۴۵ و ۵۵ سانتی‌متر بر ثانیه در سه تکرار و در چهار وضعیت در زوایای ۹۰ درجه برای هر نمونه انجام شد.

### پردازش داده‌ها و استخراج ویژگی

پس از عبور کامل حسگرهای فرacoتوی از مقابل تاج پوشش درختان، مشخصاتی همچون میانگین عرض تاج پوشش در سه ارتفاع متناظر با حسگرهای فرacoتوی، قطر تاج پوشش در سه ارتفاع متناظر با حسگرهای فرacoتوی و ارتفاع تاج پوشش درخت به عنوان ورودی شبکه عصبی و حجم دستی به عنوان خروجی از شبکه عصبی در نظر گرفته شد.

حداکثر ارتفاع تاج پوشش درخت با اسکن تمام آرایه داده‌های به دست آمده از سه حسگر فرacoتوی در بازه‌های ۱ ثانیه محاسبه شد. اسکن داده‌ها در یک برنامه حلقه‌ای از بالاترین حسگر فرacoتوی تا پایین‌ترین حسگر فرacoتوی که نیم تاج پوشش درخت را شناسایی کرده است، انجام شد. حاصل ضرب تعداد حسگرهای فرacoتوی که تاج پوشش درخت را شناسایی کرده است در فاصله بین دو حسگر فرacoتوی مجاور (۶۰ سانتی‌متر) معرف ارتفاع تاج پوشش درخت در هر ثانیه است و مراکزیم آن‌ها نشان دهنده مراکزیم ارتفاع تاج پوشش درخت است.

میانگین عرض تاج پوشش درخت در ارتفاع‌های متناظر با هر یک از حسگرهای فرacoتوی با میانگین‌گیری از هشت داده مراکزیم عرض تاج پوشش درخت در هر ارتفاع محاسبه شد. عرض تاج پوشش درخت در نقاط اندازه‌گیری شده با استفاده از رابطه (۲) محاسبه گردید (شکل ۶).  

$$C_{w_i} = D \cdot X_i \quad (2)$$

در رابطه (۲)،  $C_w$  عرض تاج پوشش درخت بر حسب متر،  $D$  فاصله تنه درخت تا حسگرهای فرacoتوی بر حسب متر،  $X$  فاصله اندازه‌گیری شده از حسگر فرacoتوی تا سطح خارجی تاج پوشش بر حسب متر و آندیس آبیانگر شماره حسگر است.

قطر تاج پوشش درخت در ارتفاع‌های متناظر با هر یک از حسگرهای فرacoتوی با استفاده از نرخ نمونه برداری، سرعت لغزنده و تعداد نقاطی که حسگر فرacoتوی تاج پوشش درخت را تشخیص داده است، محاسبه شد (رابطه ۳ و شکل ۶).  

$$CD_i = \frac{(n_i - 1) \times V}{(S_r - 1)} \quad (3)$$

در رابطه (۳)،  $CD$  قطر تاج پوشش درخت بر حسب متر،  $V$  سرعت لغزنده بر حسب متر بر ثانیه،  $S_r$  نرخ نمونه برداری حسگر فرacoتوی بر حسب هرتز،  $n_i$  تعداد نقاطی که تاج پوشش درخت را شناسایی کرده است و آندیس آبیانگر شماره حسگر فرacoتوی می‌باشد.

حجم تاج پوشش درختان به روش دستی به کمک یک متر دستی و با استفاده از المان‌های مکعب مستطیل شکل محاسبه شد (شکل ۴). در این روش ارتفاع بخش پوشش‌دار درخت با متراحتی اندازه‌گیری شد و به سه قسمت با ارتفاع‌های یکسان تقسیم شد. هر یک از قسمت‌ها به المان‌های مکعب مستطیل شکل به ارتفاع یک سوم ارتفاع کل تاج پوشش، عرض ۱۰ سانتی‌متر و عمق متغیر تقسیم بندی شد. عمق تاج پوشش درخت در وجه‌های بالایی و پایینی هر یک از المان‌ها از سطح خارجی تاج پوشش درخت تا صفحه عبوری از وسط تاج پوشش درخت (صفحه آبی رنگ) با متراحتی اندازه‌گیری شد. حجم هر المان با ضرب میانگین عمق به دست آمده از وجه‌های بالایی و پایینی المان، یک سوم ارتفاع کل تاج پوشش و عرض ۱۰ سانتی‌متر به دست آمد. با جمع حجم به دست آمده از هر یک از المان‌ها حجم یک سمت تاج پوشش تا صفحه عبوری از وسط تاج پوشش درخت محاسبه شد. با انجام مرحل ذکر شده در سمت دیگر تاج پوشش حجم نیمه دیگر تاج پوشش محاسبه گردید و حجم کل از مجموع حجم دو سمت تاج پوشش به دست آمد.

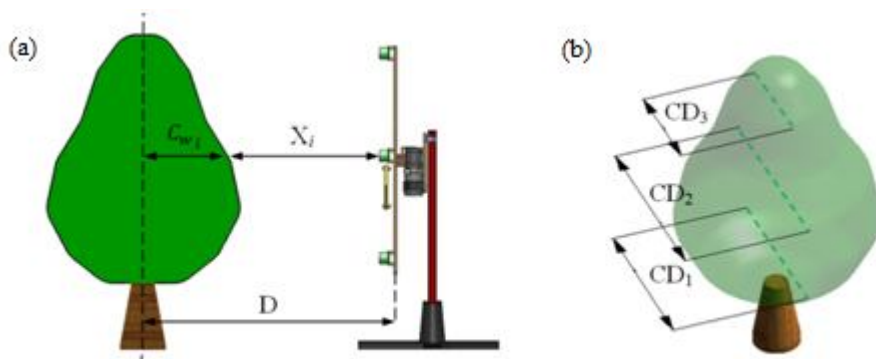


شکل ۵- اندازه‌گیری فرacoتوی حجم درخت

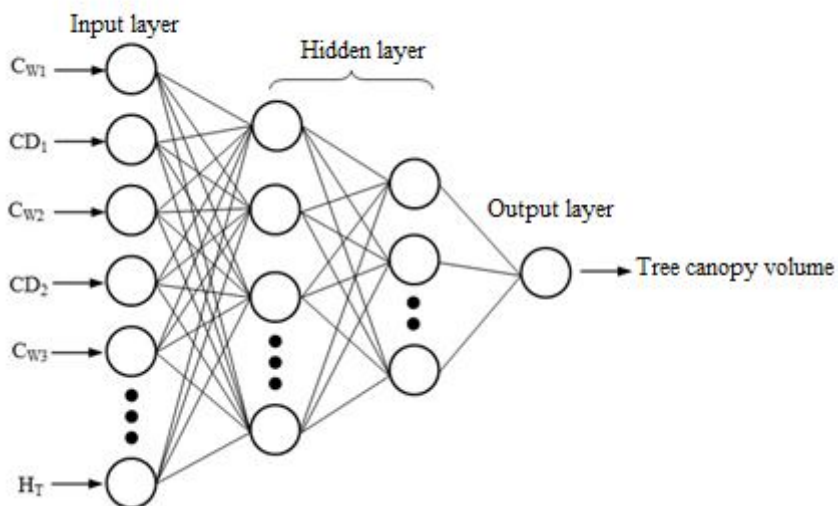
Fig.5. Ultrasonic measurement of tree canopy volume

### اندازه‌گیری حجم درخت با استفاده از حسگرهای فرacoتوی

برای اندازه‌گیری حجم درخت با استفاده از حسگرهای فرacoتوی هر یک از نمونه‌های مورد استفاده به صورت انفرادی در فاصله ۲۷۰ سانتی‌متری در جلوی حسگرهای فرacoتوی قرار گرفتند. با حرکت لغزنده با سرعت ثابت حسگرهای فرacoتوی با فرکانس نمونه برداری ۴ هرتز به صورت ترتیبی فاصله تا سطح خارجی تاج پوشش را به کمک محاسبه زمان ارسال تا دریافت سیگنال فرacoتوی به دست آورده و از طریق پورت USB بورد میکروکنترلر حسگرهای MATLAB فرacoتوی به رایانه منتقل می‌کند (شکل ۵). نرم افزار نصب شده بر روی رایانه شخصی جهت اکتساب و پردازش داده‌ها



شکل ۶- (a) اندازه‌گیری فاصله تا لایه خارجی تاج پوشش درخت  
Fig.6. (a) Distance to the external layout of the canopy, (b) Tree canopy diameter



شکل ۷- شبکه عصبی پرسپترون چند لایه  
Fig.7. Multi layer perceptron neural network

فعال سازی غیرخطی سیگموید<sup>۲</sup> در لایه‌های پنهان و تابع خطی در لایه خروجی استفاده شد. تعداد نرون مناسب در لایه‌های پنهان برای هر شبکه (منتظر با هر بردار مشخصات) از روش سعی و خطا تعیین شد. بدین منظور هر شبکه با تعداد ۱ تا ۳۰ نرون در لایه‌های پنهان آموزش داده شد و نتایج حاصله ثبت گردید. تعداد کل داده‌های مورد استفاده برای تخمین حجم نصف تاج پوشش ۱۸۰ الگو و برای تخمین حجم کل تاج پوشش ۹۰ الگو است. جهت جلوگیری از آموزش بیش از حد شبکه که باعث یادگیری نامناسب مدل می‌شود، ۷۰٪ از داده‌ها در آموزش، ۱۵٪ در آزمون و ۱۵٪ باقی مانده نیز جهت اعتبار سنجی

2- Sigmoid

### شبکه عصبی مصنوعی

مدل‌های مختلف شبکه عصبی پرسپترون چند لایه با یک و یا دو لایه پنهان برای یافتن مناسب‌ترین بردار مشخصات ورودی، خروجی و ساختار شبکه منتظر با آن‌ها، مورد بررسی قرار گرفتند (شکل ۷). به منظور تعیین بهترین نوع الگوریتم برای مسأله حاضر، الگوریتم‌های مختلف آموزش شبکه‌های عصبی مصنوعی مورد استفاده قرار گرفت. الگوریتم آموزش کاهش شبیب با گشتاور (GDM<sup>۱</sup>) به دلیل اضافه شدن مومنتم دارای عملکرد بهتری نسبت به سایر الگوریتم‌ها بود و برای آموزش شبکه‌های عصبی مصنوعی انتخاب شد. تابع

1- Gradient descent with momentum

**نتایج آزمون عملکرد سیستم آزمایشگاهی در هنگام حرکت**  
شکل ۹ عملکرد سیستم آزمایشگاهی در حال حرکت را، در یکی از تکرارها نشان می‌دهد. مختصات قرارگیری هدف با خط مشکی نشان داده شده است. مختصات نقاط ابتدایی و انتهایی دیده شدن هدف توسط حسگرهای فراصوتی در وضعیت استاتیک سیستم آزمایشگاهی به صورت خط چین در بخش حسگرهای دوم و سوم نشان داده شده است.

با توجه به ارتفاع ۵۰ سانتی‌متری تخته از سطح زمین حسگر فراصوتی اول در هیچ یک از فاصله‌ها هدف را تشخیص نداد. در تمام فاصله‌ها خطای چند سانتی‌متری در تشخیص هدف در هر دو وضعیت استاتیک و در حال حرکت مشاهده شد. حداقل مقدار اختلاف بین فاصله واقعی هدف و خروجی حسگر فراصوتی ۵ سانتی‌متر به دست آمد. محدوده RMSE اندازه‌گیری حسگر فراصوتی دوم در فاصله ۵۰ تا ۲۵۰ سانتی‌متری هدف ۴/۳۷–۲ سانتی‌متر است (جدول ۲). با افزایش فاصله هدف از حسگرهای فراصوتی موقعیت دیده شدن آن توسط حسگرهای فراصوتی افزایش یافته است به طوری که کمترین میزان افزایش ناحیه دید برای تخته چوبی در فاصله ۱۰۰ سانتی‌متری به میزان ۲ سانتی‌متر و بیشترین آن در فاصله ۲۵۰ سانتی‌متری به میزان ۳۳ سانتی‌متر است (جدول ۳). این امر به علت بزرگ شدن نشانگر اندازه‌گیر حسگر فراصوتی با افزایش فاصله می‌باشد. محققین نیز در تحقیق خود بیان کردند که نشانگر اندازه‌گیر حسگر فراصوتی تغییر پذیر است و با افزایش فاصله افزایش می‌یابد (de Martí et al., 2006). بزرگ شدن نشانگر اندازه‌گیر فراصوتی باعث بروز خطای اجتناب ناپذیر در تعیین موقعیت هدف در شروع و پایان آن شده است. عدم تقارن ناحیه دید حسگر فراصوتی باعث شده است که حسگر فراصوتی هدف را قبل از رسیدن به موقعیت واقعی خود تشخیص دهد که بیشترین مقدار آن در فاصله ۲۵۰ سانتی‌متری اتفاق افتاده است ولی موقعیت پایانی هدف را نسبتاً خوب تشخیص داد (شکل ۹).

#### نتایج تخمین هوشمند حجم درخت با استفاده از مشخصات

##### به دست آمده از حسگرهای فراصوتی

برای بررسی عملکرد شبکه پرسپترون چند لایه از ساختارهای مختلف با تعداد نرون‌های مختلف مورد استفاده قرار گرفت. در گام اول از شبکه عصبی مصنوعی با یک لایه پنهان استفاده شد. با توجه به میانگین مربعات خطای بالا و ضریب همبستگی پایین شبکه‌های عصبی با یک لایه پنهان، نتایج حاصل از آن‌ها برای پیش‌بینی حجم تاج پوشش درختان رضایت بخش نبود. بنابراین از شبکه عصبی با دو لایه پنهان استفاده شد.

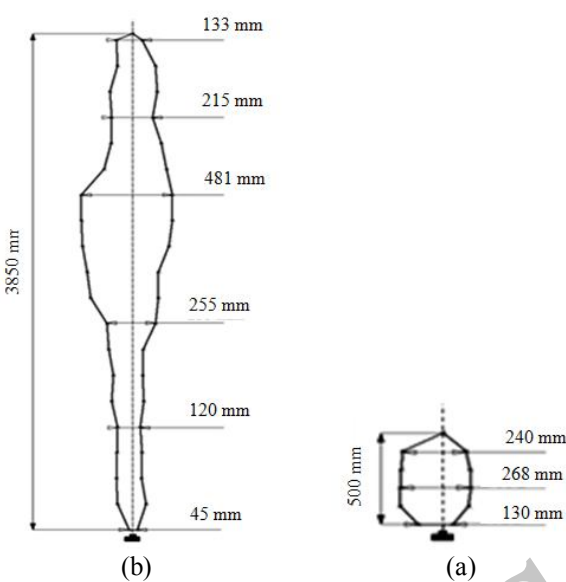
داده‌ها مورد استفاده قرار گرفتند. نرخ یادگیری شبکه ۰/۳ با ضریب گشتاور ۰/۲ در نظر گرفته شد. معیار توقف آموزش شبکه تعداد تکرارها یا میانگین مربعات خطای (MSE) داده‌های آموزشی قرار داده شد. جهت انتخاب بهترین شبکه از ضریب همبستگی<sup>۱</sup> (R) و حداقل MSE داده‌های اعتبار سنجی استفاده شد. شبکه عصبی انتخاب شده با ۵ داده که قبلاً در آموزش شبکه‌های عصبی مورد استفاده قرار نگرفته بودند، ارزیابی شد. برای مقایسه مقادیر خروجی شبکه عصبی با حجم واقعی تاج پوشش نمونه‌ها، از RMSE داده‌ها استفاده شد. کلیه مراحل ایجاد و آموزش شبکه پرسپترون چند لایه در جعبه ابزار شبکه عصبی نرم افزار MATLAB 7.4 انجام شده است.

#### نتایج و بحث

**نتایج آزمون تعیین ناحیه دید حسگرهای فراصوتی**  
حداکثر عرض و طول ناحیه دید حسگرهای فراصوتی SRF02 برای سطح تخت به ترتیب ۴۸۱ و ۳۸۵ میلی‌متر و برای سطح انحنای استوانه‌ای به ترتیب ۲۶۸ و ۵۰۰ میلی‌متر است (شکل ۸). افزایش عرض ناحیه دید برای اجسام مدور ناشی از پراکنده شدن امواج فراصوتی در اثر برخورد با سطح استوانه‌ای است. محققان نیز در تحقیقات خود نشان دادند که ناحیه دید عرضی امواج فراصوتی برای اجسام انحنای بزرگ‌تر از اجسام مسطح است (Escola et al., 2010; Masoudi et al., 2010). همچنین عدم بازتاب آینه‌ای امواج فراصوتی در اثر برخورد با سطح انحنای باعث کاهش طول ناحیه دید حسگر فراصوتی در این نوع سطوح شده است که با نتایج مسعودی و همکاران (۲۰۱۰) مطابقت دارد. سطح تاج پوشش درختان از برگ‌های کوچک تشکیل شده است که در جهت‌های مختلف قرار گرفته‌اند. درنتیجه انعکاس امواج فراصوتی پراکنده‌تر از سطح تخت است و ناحیه دید حسگرهای فراصوتی آن بین سطح تخت و استوانه‌ای قرار دارد. شکل هندسی هدف و موقعیت نسبی آن نسبت به حسگر فراصوتی تا حد زیادی بر ردپای تشخیص حسگر فراصوتی تأثیر می‌گذارد (Escola et al., 2011). با توجه به شکل ۸ مشاهده می‌شود که ناحیه دید حسگر فراصوتی دارای تقارن مناسبی نیست و به طور کلی ناحیه دید سمت چپ حسگر فراصوتی بزرگ‌تر از ناحیه دید سمت راست است. عدم تقارن سمت چپ و راست حسگرهای فراصوتی سبب می‌شود دقت حسگرهای فراصوتی در تعیین شروع و پایان تاج پوشش یکسان عمل نکند و سیستم در محاسبات میزان نهاده‌های مورد نیاز عملیات داشت مانند کودپاشی و سمپاشی دچار خطأ شود.

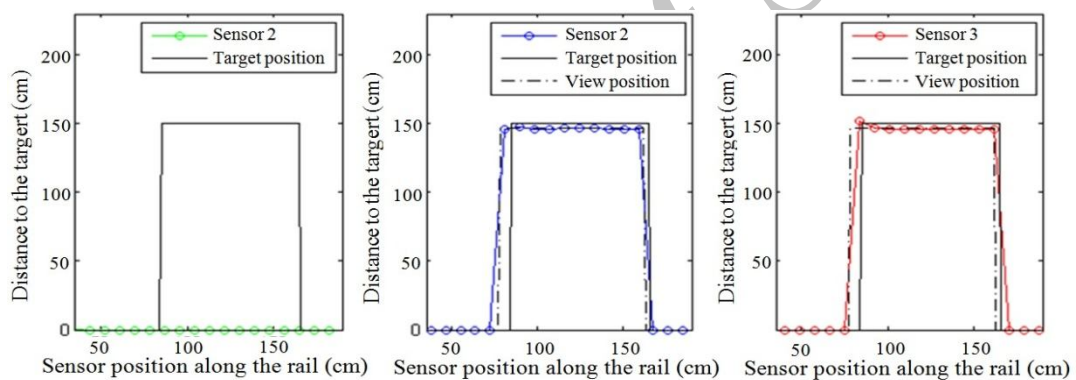
1- Mean square error

2- Coefficient of correlation



شکل ۸- ناحیه دید حسگرهای فرماصوتی؛ (a) سطح انحنای استوانه‌ای، (b) سطح تخت

Fig.8. Detection area of ultrasonic sensor; (a) Cylindrical object, (b) Squared plane object



شکل ۹- خروجی حسگرهای فرماصوتی در حالت استاتیک و حرکت در تعیین موقعیت هدف در فاصله ۱۵۰ سانتی‌متری

Fig.9. Output ultrasonic sensors in static and move mode for locating the target position on 150 cm distance

**جدول ۲**- RMS خطای حسگرهای فرماصوتی در فاصله‌های مورد آزمایش  
Table 2- RMS error of ultrasonic sensors on the tested distances

	فاصله هدف					
	Distance of target (cm)					
	50	100	50	150	200	250
مجذور میانگین مربعات خطأ	2.65	2.39	2.65	3.56	4.37	3.71
RMSE (cm)	2.76	2.00	2.76	3.61	4.37	3.66
میانگین مجذور میانگین مربعات خطأ	2.03	2.12	2.03	3.48	4.35	3.64
Mean RMSE (cm)	2.48	2.17	2.48	3.55	4.36	3.67
انحراف معيار	0.39	0.20	0.39	0.07	0.01	0.04
Standard deviation						

**جدول ۳- موقیت دیده شدن هدف در حالت استاتیک توسط حسگر فرماصوتی دوم****Table 3- Detecting position of the target in static mode by second ultrasonic sensor**

فاصله هدف Distance of target (cm)	موقعیت اصلی هدف Actual position of the target (cm)	موقعیت به دست آمده توسط حسگر فرماصوتی The achievement position by ultrasonic sensors (cm)	میزان افزایش ناحیه دید Value of increasing of detection area (cm)
50	85-165	81-167	6
100	85-165	81-163	2
150	85-165	78-162	4
200	85-165	71-169	18
250	85-165	62-165	23

**جدول ۴- عملکرد برخی از شبکه‌های عصبی برای زیر مجموعه‌ای از خصوصیات****Table 4- Performance of ANN models for subsets of features**

مشخصات Features	خروجی Output	ساختار شبکه Topology	ضریب همبستگی Cross validation R	میانگین مربعات خطأ Cross validation MSE	تکرار Epochs
CD <sup>a</sup> <sub>(1,2,3)</sub> + CW <sup>b</sup> <sub>(1,2,3)</sub> + HS <sup>c</sup>	HVRE <sup>d</sup>	7-10-1	0.923150	0.0040950	1000
CD <sub>(1,2,3)</sub> + CW <sub>(1,2,3)</sub> + HS	HVRE	7-8-3-1	0.570500	0.0197350	1000
CD <sub>(1,2,3)</sub> + CW <sub>(1,2,3)</sub> + HS	VRE <sup>e</sup>	7-4-1	0.039905	0.0745540	1000
CD <sub>(1,2,3)</sub> + CW <sub>(1,2,3)</sub> + HS	VRE	7-15-1	0.027455	0.0714810	1000
CD <sub>(1,2,3)b</sub> + CW <sub>(1,2,3)f</sub> + CD <sub>(1,2,3)f</sub> CW <sub>(1,2,3)b</sub> + HS	VRE	13-15-1	0.862220	0.0070764	1000
CD <sub>(1,2,3)b</sub> + CW <sub>(1,2,3)f</sub> + CD <sub>(1,2,3)f</sub> CW <sub>(1,2,3)b</sub> + HS	VRE	13-9-5-1	0.928550	0.0129950	1000
CD <sub>(1,2,3)b</sub> + CW <sub>(1,2,3)f</sub> + CD <sub>(1,2,3)f</sub> CW <sub>(1,2,3)b</sub> + HS	VRE	13-16-7-1	0.983620	0.0027716	1000

<sup>a</sup> قطر تاج پوشش درخت، <sup>b</sup> عرض تاج پوشش درخت، <sup>c</sup> ارتفاع درخت به دست آمده توسط حسگر فرماصوتی، <sup>d</sup> حجم نصف تاج پوشش درخت به روش المان مستطیلی، <sup>e</sup> حجم کل تاج پوشش درخت به روش المان مستطیلی، اندیس f و b به ترتیب بیانگر شماره حسگر فرماصوتی و اندیس i بیانگر شماره رویه رو و پشت تاج پوشش درخت است.

<sup>a</sup> Canopy diameter, <sup>b</sup> Canopy width, <sup>c</sup> Canopy height, <sup>d</sup> The half volume of the tree with rectangular element method, <sup>e</sup> The volume of the tree with rectangular element method, i indicates the number of ultrasonic sensors and f and b represent front and back of the tree canopy.

مناسبی دارا می‌باشدند. در تحقیقات پیشین گزارش شده است که سرعت حرکت حسگرهای فرماصوتی اثر معناداری بر عملکرد سیستم فرماصوتی آن‌ها جهت تخمین حجم تاج پوشش درخت ندارد ( Giles et al., 1988; Jeon et al., 2011; Zaman and Salyani, 2004). مشابه به نتایج آن‌ها، نتایج حاصل از شبکه‌های عصبی مصنوعی نشان داد که افزایش سرعت حرکت حسگرهای فرماصوتی تأثیری بر روی عملکرد شبکه عصبی برگزیده ندارد.

خطای تخمین حجم تاج پوشش توسط شبکه عصبی منتخب در محدوده ۰/۳۷٪ - ۷/۸۷٪ قرار گرفته و میزان RMSE برای پنج نمونه ۰/۰۳۹۲۷۸ سانتی‌متر مکعب می‌باشد (جدول ۵). خطای کمتر از ۸٪ نشان می‌دهد که با وجود ویژگی‌های سطح تاج پوشش درختان از جمله وجود حفره و برآمدگی، جهت‌دار بودن برگ‌ها و زاویه و اگرایی حسگرهای فرماصوتی، شبکه‌های عصبی با مشخصات به دست آمده از حسگرهای فرماصوتی قابلیت تخمین حجم تاج پوشش را با دقت

**جدول ۵- نتایج آزمون تخمین حجم با شبکه عصبی منتخب****Table 5- Tree volume estimation with selected neural network**

شماره نمونه Specimen number	1	2	3	4	5
حجم دستی Manual volume (m <sup>3</sup> )	0.7572	0.7440	0.9816	1.1196	0.3676
حجم تخمین زده توسط شبکه Estimation volume with ANN (m <sup>3</sup> )	0.724111	0.761003	1.057930	1.106072	0.385506
خطای تخمین شبکه Error (%)	-4.37	2.29	7.78	-1.21	4.87
مجدور میانگین مربعات خطأ RMSE (m <sup>3</sup> )			0.039278		

## نتیجه‌گیری

زاویه واگرایی حسگرهای فراصوتی به موقعیت و شکل هندسی اجسام نیز بستگی دارد اما با این وجود شبکه‌های عصبی مصنوعی قادر به تخمین حجم کل تاج پوشش با دقت مناسب را دارا می‌باشند. پیشنهاد می‌گردد در تحقیقات بعدی با افزایش تعداد حسگرهای فراصوتی فاصله بین آن‌ها بر روی دکل چوبی کاهش یابد و بدین صورت می‌توان دقت تخمین حجم تاج پوشش درخت را افزایش داد.

به طور کلی، در این تحقیق یک روش براساس تلفیق خصوصیات فیزیکی تاج پوشش درخت و شبکه عصبی، جهت تخمین حجم تاج پوشش درخت مطالعه قرار گرفت. دقت و ارزانی ابزار مورد استفاده از مهم‌ترین مزایای سیستم مورد ارائه می‌باشد. بررسی ناحیه دید حسگرهای فراصوتی نشان داد که بزرگی این ناحیه علاوه بر

## منابع

- Carreiras, J. M. B., J. M. C. Pereira, and J. S. Pereira. 2006. Estimation of tree canopy cover in evergreen oak woodlands using remote sensing. *Forest Ecology and Management* 223: 45-53.
- de Martí, S. P., J. R. R. Polo, E. G. Moya, L. V. Monterola, and A. E. Agustí. 2006. Optimizing pesticide spray application in tree crops. In ASAE Annual Meeting, boston, Massachusetts. Oregon Convention Center, Portland, Oregon.
- Escola, A., S. Planas, J. R. Rosell, J. Pomar, F. Camp, F. Solanelles, F. Gracia, J. Llorens, and E. Gil. 2011. Performance of an ultrasonic ranging sensor in apple tree canopies. *Sensors (Basel)* 11: 2459-2477.
- Giles, D. K., M. J. Delwiche, and R. B. Dodd. 1988. Electronic measurement of tree canopy volume. *Transactions of the ASAE* 31: 264-272.
- Jeon, H. Y., H. Zhu, R. Derksen, E. Ozkan, and C. Krause. 2011. Evaluation of ultrasonic sensor for variable-rate spray applications. *Computers and Electronics in Agriculture* 75: 213-221.
- le Maire, G., C. François, K. Soudani, D. Berveiller, J. Y. Pontailler, N. Bréda, H. Genet, H. Davi, and E. Dufrêne. 2008. Calibration and validation of hyperspectral indices for the estimation of broadleaved forest leaf chlorophyll content, leaf mass per area, leaf area index and leaf canopy biomass. *Remote Sensing of Environment* 112: 3846-3864.
- Llorens, J., E. Gil, J. Llop, and A. Escolà. 2010. Variable rate dosing in precision viticulture: Use of electronic devices to improve application efficiency. *Crop Protection* 29: 239-248.
- Llorens, J., E. Gil, J. Llop, and A. Escola. 2011. Ultrasonic and LIDAR sensors for electronic canopy characterization in vineyards: Advances to improve pesticide application methods. *Sensors (Basel)* 11: 2177-2194.
- Mäkelä, H., and A. Pekkarinen. 2004. Estimation of forest stand volumes by Landsat TM imagery and stand-level field-inventory data. *Forest Ecology and Management* 196: 245-255.
- Masoudi, H., R. Alimardani, M. Omid, S. S. Mohtasebi, and S. Bagheri Shooraki. 2010. A Laboratory study of ultrasonic sensors to determine position and orientation of mobile robots for greenhouse. *Iranian Journal of Biosystems Engineering* 41: 69-79. (In Farsi).
- Meron, M., S. Cohen, and G. Melman. 2000. Tree shape and volume measurement by light interception and aerial photogrammetry. *Transactions of the American Society of Agricultural Engineers* 43: 475-481.
- Mõttus, M., M. Sulev, and M. Lang. 2006. Estimation of crown volume for a geometric radiation model from detailed measurements of tree structure. *Ecological Modelling* 198: 506-514.
- Rosell, J. R., and R. Sanz. 2012. A review of methods and applications of the geometric characterization of tree crops in agricultural activities. *Computers and Electronics in Agriculture* 81: 124-141.
- Schumann, A. W., and Q. U. Zaman. 2005. Software development for real-time ultrasonic mapping of tree canopy size. *Computers and Electronics in Agriculture* 47: 25-40.
- Zaman, Q. U., and M. Salyani. 2004. Effects of foliage density and ground speed on ultrasonic measurement of citrus tree volume. *Applied Engineering in Agriculture* 20: 173-178.
- Zhai, C., X. Wang, C. Zhao, W. Zou, D. Liu, and Y. Mao. 2011. Orchard tree structure digital test system and its application. *Mathematical and Computer Modelling* 54: 1145-1150.